

# Próbkowanie metodą Wang-Landau

Emil Śmiech, Amelia Królczyk

Styczeń 2021

Część I

**Wstęp**

Wraz z szybkim rozwojem procesorów komputerowych, symulacje numeryczne metodą Monte Carlo stały się uznanym narzędziem do badania białek, czy polimerów. W celu przyspieszenia symulacji zaproponowano kilka metod rozwiązywania problemów. Jedną z tych metod jest próbkowanie Wang-Landau.

Próbkowanie metodą Wang-Landau określa gęstość stanów i związaną z nimi funkcję podziału, nie zastępuje bezpośrednio algorytmu Metropolis'a i jego symulacji fluktuacji termicznych. Jednakże ta metoda zapewnia równoważną symulację dla modelu Isinga.

Algorytm Metropolis'a jest połączeniem techniki redukcji wariancji i techniki odrzucenia von Neumanna. Techniki te pokazują, jak zwiększyć efektywność integracji metodą Monte Carlo (próbkując głównie losowe punkty gdzie całka jest duża), oraz jak generować losowe punkty z dowolnym rozkładem prawdopodobieństwa.

W naszej pracy przetestujemy opisaną metodę w celu obliczenia gęstości stanów oraz energii wewnętrznej.

## Część II

# Opis próbkowania metodą Wang-Landau

Postępowanie w metodzie Wang-Landau jest podobne do algorytmu Metropolis, jednak wykorzystuje się funkcję gęstości stanów  $g(E_i)$ , a nie współczynnik Boltzmanna:

1. Zaczynamy od dowolnej konfiguracji spinu  $\alpha_k = s_1, s_2, \dots, s_N$  oraz z dowolnymi wartościami gęstości stanów  $g(E_i) = 1, i = 1, \dots, M$ , gdzie  $M = 2N$ , to liczba stanów systemu.

2. Generujemy konfigurację próbną  $\alpha_{k+1}$  następująco:

a) wybieramy cząstkę „ $i$ ” przypadkowo

b) odracamy spin „ $i$ ”

3. Obliczamy energię  $E_{\alpha_{tr}}$  konfiguracji próbnej.

4. Jeśli  $g(E_{\alpha_{tr}})g(E_{\alpha_k})$ , akceptujemy próbę, czyli ustawiamy  $\alpha_{k+1} = \alpha_{tr}$ .

5. Jeśli  $g(E_{\alpha_{tr}}) > g(E_{\alpha_k})$ , akceptujemy próbę z prawdopodobieństwem  $P = g(E_{\alpha_k})/g(E_{\alpha_{tr}})$ : a) wybieramy jednolitą liczbę losową  $0r_i1$ . b) ustawiamy  $\alpha_{k+1} = \alpha_{tr}$ , jeśli  $Pr_j$  (akceptujemy);  $\alpha_k$ , jeśli  $P < r_j$  (odrzucaamy). Ta zasada akceptacji może być zwięźle wyrażona jako:

$$\mathcal{P}(E_{\alpha_k} \rightarrow E_{\alpha_{tr}}) = \min \left[ 1, \frac{g(E_{\alpha_k})}{g(E_{\alpha_{tr}})} \right]$$

który oczywiście zawsze akceptuje stany o niskiej gęstości (nieprawdopodobne).

6. Gdy mamy nowy stan, modyfikujemy gęstość prądu stanów  $g(E_i)$  poprzez mnożnik  $f$ :

$$g(E_{\alpha_{k+1}}) \rightarrow f g(E_{\alpha_{k+1}}),$$

i dodajemy 1 do kosza na histogramie odpowiadającym nowej energii:

$$H(E_{\alpha_{k+1}}) \rightarrow H(E_{\alpha_{k+1}}) + 1.$$

7. Wartość mnożnika  $f$  jest empiryczna. Zaczynamy od liczby Eulera  $f = e = 2,71828$ , która wydaje się zachowywać dobrą równowagę między bardzo dużą liczbą małych kroków (małe  $f$ ) a zbyt szybką serią skoków w przestrzeni energii (duże  $f$ ). Ponieważ entropia  $S = kB \ln g(E_i) \rightarrow kB [\ln g(E_i) + \ln f]$ , (15,24) odpowiada jednorodnemu wzrostowi entropii o  $kB$ .

8. Nawet przy rozsądnych wartościach  $f$ , powtarzane działania mnożenia prowadzą do wykładniczego wzrostu wielkości  $g$ . Może to powodować przepełnienia zmiennoprzecinkowe i zgodną utratę informacji (w końcu wielkość  $g(E_i)$  nie ma znaczenia, ponieważ funkcja jest znormalizowana). Tych przepełnień można uniknąć, działając na logarytmach wartości funkcji. W tym przypadku aktualizacja gęstości stanów staje się:

$$\ln g(E_i) \rightarrow \ln g(E_i) + \ln f.$$

9. Trudność w przechowywaniu wartości  $\ln g(E_i)$  polega na tym, że do obliczenia prawdopodobieństwa potrzebujemy stosunku wartości  $g(E_i)$ . Można to obejść, stosując tożsamość  $x = \exp(\ln x)$  do wyrażenia stosunku jako:

$$\frac{g(E_{\alpha_k})}{g(E_{\alpha_r})} = \exp \left[ \ln \frac{g(E_{\alpha_k})}{g(E_{\alpha_r})} \right] = \exp [\ln g(E_{\alpha_k})] - \exp [\ln g(E_{\alpha_r})].$$

10. Losowy spacer w  $E_i$  trwa do momentu uzyskania płaskiego histogramu odwiedzonych wartości energii. Płaskość histogramu jest regularnie testowana (co 10 000 powtórzeń), a spacer kończy się, gdy histogram jest dostatecznie płaski. Wartość  $f$  jest następnie zmniejszana, aby następny spacer zapewniał lepsze przybliżenie do  $g(E_i)$ .

11. Następnie zachowujemy wygenerowane  $g(E_i)$  i resetujemy wartości histogramu  $h(E_i)$  do zera.

12. Spacerory są przerywane i rozpoczynane nowe, dopóki nie zostanie uzyskana żadna istotna korekta gęstości stanów. Mierzy się to wymagając mnożenia współczynnika  $f \simeq 1$  w ramach pewnego poziomu tolerancji; na przykład  $f1 + 108$ . Jeśli algorytm się powiedzie, histogram powinien być płaski.

13. Ostatnim krokiem symulacji jest normalizacja wydedukowanej gęstości stanów  $g(E_i)$ . Dla modelu Isinga z  $N$  obrotami w górę lub w dół, warunek normalizacji wynika ze znajomości całkowitej liczby stanów:

$$\sum_{E_i} g(E_i) = 2^N \quad \Rightarrow \quad g^{(\text{norm})}(E_i) = \frac{2^N}{\sum_{E_i} g(E_i)} g(E_i).$$

Ponieważ na sumę największy wpływ mają te wartości energii, w których  $g(E_i)$  jest duże, może nie być precyzyjne dla gęstości o niskim  $E_i$ , które mają niewielki wpływ na sumę. W związku z tym bardziej precyzyjna normalizacja, polega na wymaganiu, aby istniały tylko dwa stany podstawy z energiami  $E = 2N$  (jeden ze wszystkimi obrotami w górę i jeden ze wszystkimi obrotami na dół):

$$\sum_{E_i=-2N} g(E_i) = 2.$$

**Część III**

**Kod i obliczenia**

Rysunek 1: Ustawienia opcji grafiki, zadeklarowanie zmiennych oraz wielkości fizycznych

```

1  from cmath import sin, pi
2  from vpython import *
3  from numpy import zeros
4  import random
5
6  L = 8; N = (L * L)
7
8  #Set up graphics
9  entgr = graph(x = 0, y = 0, width = 500, height = 250, title = 'Density of States',\
10 | xtitle = 'E/N', ytitle = 'logg(E)', xmax = 2., xmin = -2., ymax = 45, ymin = 0)
11
12  entrp = gcurve(color = color.magenta)
13
14  energygr = graph(x = 0, y = 250, width = 500, height = 250, title = 'E vs T',\
15 | xtitle = 'T', ytitle = 'U(T)/N', xmax = 8., xmin = 0, ymax = 0., ymin = -2.)
16
17  energ = gcurve(color = color.cyan)
18
19  histogr = canvas(x = 0, y = 500, width = 500, height = 300,\
20 | title = '1st histogram: H(E) vs. E/N, corresponds to log(f) = 1')
21
22  l = []
23  for i in range(0, L):
24      for j in range(0, L):
25          l.append(vector(2.25 * L * i - N, 2.25 * L * j - 40, 0))
26
27  histo = points(pos = l, color = color.red)
28  xaxis = curve(pos = [vector(-N, -50, 0), vector(N, -50, 0)])
29  minE = label(pos = vector(-N + 3, -60, 0), text = '-2', box = 0)
30  maxE = label(pos = vector(N-3, -60, 0), text = '2', box = 0)
31  zeroE = label(pos = vector(0, -60, 0), text = '0', box = 0)
32  ticm = curve(pos = [vector(-N, -55, 0), vector(-N, -53, 0)])
33  tic0 = curve(pos = [vector(0, -55, 0), vector(0, -53, 0)])
34  ticM = curve(pos = [vector(N, -55, 0), vector(N, -53, 0)])
35  enr = label(pos = vector(0, -75, 0), text = 'E/N', box = 0)
36
37  sp = zeros((L, L))          #Gridsize, spins
38  hist = zeros((N + 1))
39  phist = zeros((N + 1))     #Histograms
40  S = zeros((N + 1), float)  #Entropy = logg(E)
41
42  def iE(e):return int((e + 2*N)/4)
43
44  def IntEnergy():
45      exponent = 0.0

```



Rysunek 2: Inicjalizacja. Zdefiniowanie próbkowania Wang-Landau

```

46
47  for T in arange(0.2, 8.2, 0.2):          #Selectlambdamax
48      Ener = -2 * N
49      maxL = 0.0                          #Initialize
50
51      for i in range(0, N + 1):
52          if S[i] != 0 and (S[i] - Ener/T) > maxL:
53              maxL = S[i] - Ener/T
54              Ener = Ener + 4
55
56      sumdeno = 0
57      sumnume = 0
58      Ener = -2 * N
59
60      for i in range(0, N):
61          if S[i] != 0:
62              exponent = S[i]-Ener/T-maxL
63              sumnume += Ener * exp(exponent)
64              sumdeno += exp(exponent)
65              Ener = Ener + 4.0
66
67      for j in range(0, N):
68          if S[j] != 0:
69              U = sumnume/sumdeno/N          #internalenergyU(T)/N
70              energ.plot(pos = [T, U])
71
72  def WL():                                #Wang-Landausampling
73      Hinf = 1.e10                          #initialvaluesforHistogram
74      Hsup = 0.
75      tol = 1.e-3                          #tolerance, stopsthealgorithm
76      ip = zeros(L)
77      im = zeros(L)                        #BCRordown, Lorup
78      height = abs(Hsup-Hinf)/2.           #Initializehistogram
79      ave = (Hsup + Hinf)/2.              #aboutaverageofhistogram
80      percent = height/ave
81
82      for i in range(0, L):
83          for j in range(0, L):sp[i, j] = 1          #Initialspins
84
85      for i in range(0, L):
86          ip[i] = i + 1
87          im[i] = i - 1                      #Caseplus, minus
88
89      ip[L - 1] = 0
90      im[0] = L - 1                        #Borders
91      Eold = -2 * N                        #Initializeenergy
92

```

Rysunek 3: Inicjalizacja entropii, wybór dowolnego spinu, inicjalizacja nowego histogramu

```

93     for j in range(0, N + 1):S[j] = 0           #Entropyinitialized
94     iter = 0
95     fac = 1
96
97     while fac > tol:
98         i = int(N*random.random())           #Selectrandomspin
99         xg = i//L
100        #Mustbe//L, noti/LforPython3:
101        yg = i//L           #Localize x, y, gridpoint
102
103        Enew = Eold + 2 * ([sp[int(ip[xg]), yg] + sp[int(im[xg]), yg] +
104        [sp[xg, int(ip[ yg])] + sp[xg, int(im[ yg])]]) * sp[xg, yg]           #Changeenergy
105
106        deltaS = S[iE(Enew)]-S[iE(Eold)]
107
108        if deltaS <= 0 or random.random() < exp(- deltaS):
109            Eold = Enew;
110            sp[xg, yg] *= -1           #Flipspin
111
112            S[iE(Eold)] += fac;           #Changeentropy
113
114            if iter%10000 == 0 :           #Checkflatnessevery10000sweeps
115                for j in range(0, N + 1):
116                    if j == 0:
117                        Hsup = 0
118                        Hinf = 1e10           #Initializenewhistogram
119
120                    if hist[j] == 0:continue           #Energiesnevervisited
121                    if hist[j]>Hsup:Hsup = hist[j]
122                    if hist[j]<Hinf:Hinf = hist[j]
123
124                    height = Hsup - Hinf
125                    ave = Hsup + Hinf
126                    percent = 1.0*height/ave           #1.0tomakeitfloatnumber
127
128                    if percent<0.3:           #Histogramflat?
129                        print("iter", iter, "log(f)", fac)
130
131                    for j in range(0, N + 1):
132                        prhist[j] = hist[j]           #toplot
133                        hist[j] = 0           #Savehist
134
135                    fac *= 0.5           #Equivalenttolog(sqrt(f))
136
137            iter += 1
138            hist[iE(Eold)] += 1           #Changehistogram, add1, update
139

```

Rysunek 4: Przywołanie algorytmu Wang-Landau, obliczenia

```
140     if fac >= 0.5:           #justshowthefirsthistogram
141         #Speedupbyusingarraycalculations:
142         histo.x = 2.0 * arange(0, N) - N
143         histo.y = 0.025 * hist - 10
144
145     deltaS = 0.0
146     print("wait because iter > 13 000 000")           #notalwaysthesame
147     WL()           #CallWangLandaualgorithm
148     deltaS = 0.0
149
150     for j in range(0, N + 1):
151         order = j * 4 - 2 * N
152         deltaS = S[j] - S[0] + log(2)
153         if S[j] != 0: entrp.plot(pos = [1. * order/N, deltaS])           #plotentropy
154
155     IntEnergy();
156     print(["Done"])
```

Rysunek 5: Obliczenia wykonane przez program:

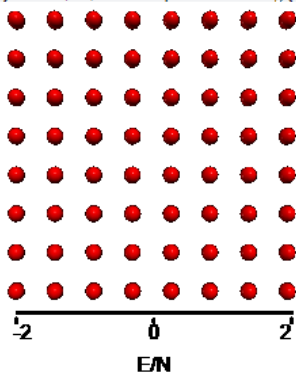
```
wait because iter > 13 000 000
iter 0 log(f) 1
iter 50000 log(f) 0.5
iter 90000 log(f) 0.25
iter 130000 log(f) 0.125
iter 170000 log(f) 0.0625
iter 230000 log(f) 0.03125
iter 300000 log(f) 0.015625
iter 370000 log(f) 0.0078125
iter 450000 log(f) 0.00390625
iter 550000 log(f) 0.001953125
Done
```

**Część IV**

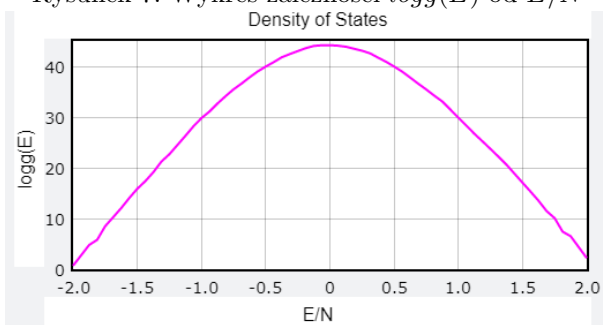
**Wyniki**

Rysunek 6: Histogram

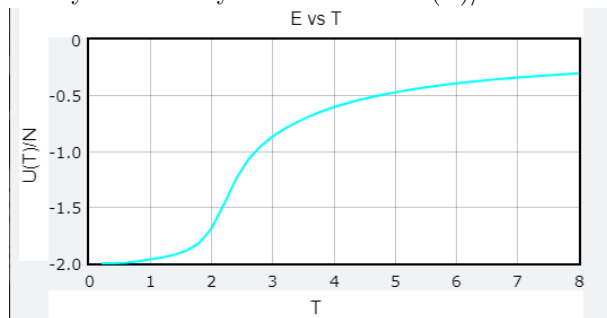
1st histogram:  $H(E)$  vs.  $E/N$ , corresponds to  $\log(f) = 1$



Rysunek 7: Wykres zależności  $\log g(E)$  od  $E/N$



Rysunek 8: Wykres zależności  $U(T)/N$  od  $T$



Wyniki pokazują, iż gęstość stanów uzyskana bezpośrednio przez metodę Wang-Landau umożliwia obliczenie właściwości termodynamicznych nawet dla dużych układów. Możemy również powiedzieć, że badania przeprowadzone tą

metodą są dokładniejsze niż te, które byłyby przeprowadzone w standardowej symulacji Monte Carlo. Wielkości termodynamiczne, takie jak energia swobodna i entropia są bezpośrednio szacowane na podstawie gęstości stanów.